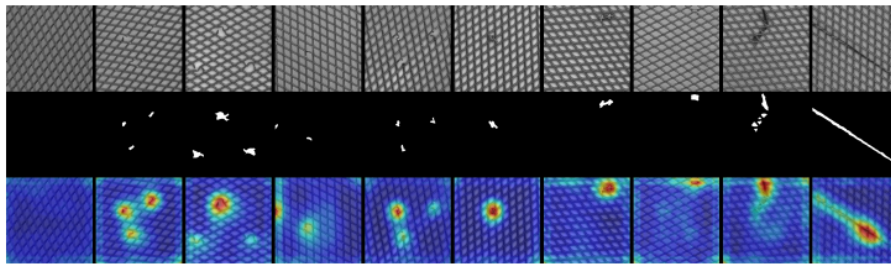
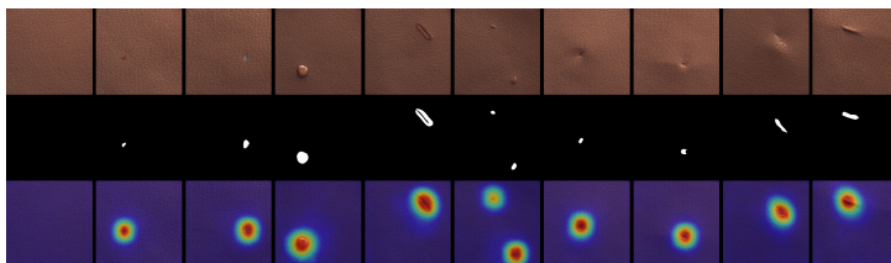


図A1：MVTec-ADにおけるカーペットの異常検出結果。上から下へ：サンプル、真値、およびADTRの異常スコアマップ。最初の列は正常なサンプルです。



図A2：MVTec-ADにおけるグリッドの異常検出結果。上から下へ：サンプル、真値、およびADTRの異常スコアマップ。最初の列は正常なサンプルです。



図A3：MVTec-ADにおける皮革の異常検出結果。上から下へ：サンプル、真値、およびADTRの異常スコアマップ。最初の列は正常なサンプルです。

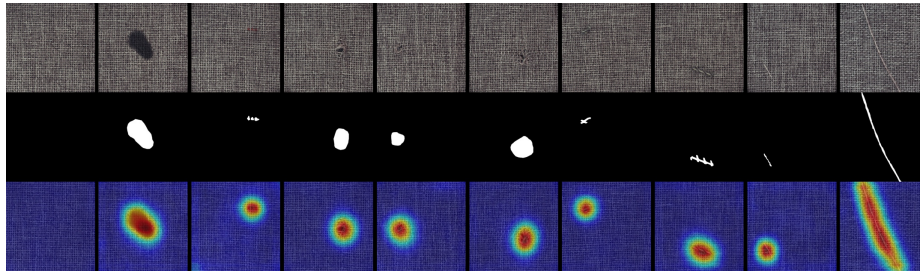


Fig. A1: Anomaly detection results of carpet on MVTec-AD. From top to down: samples, ground-truth, and the anomaly score maps of ADTR. The first column is the normal sample.

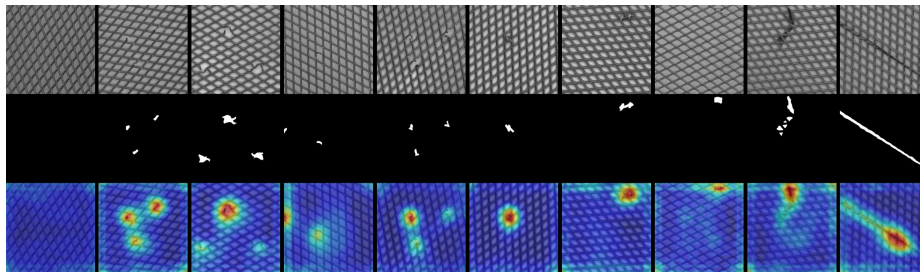


Fig. A2: Anomaly detection results of grid on MVTec-AD. From top to down: samples, ground-truth, and the anomaly score maps of ADTR. The first column is the normal sample.

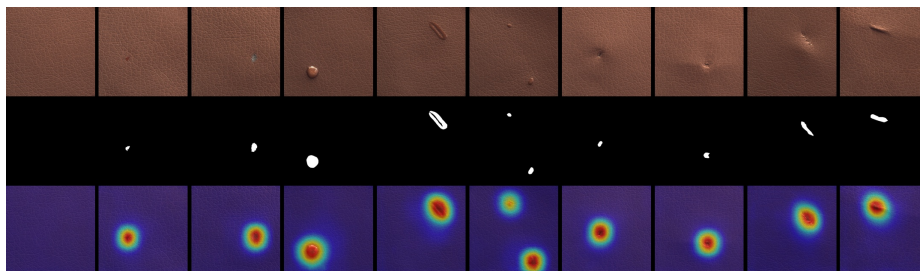


Fig. A3: Anomaly detection results of leather on MVTec-AD. From top to down: samples, ground-truth, and the anomaly score maps of ADTR. The first column is the normal sample.